

油井管用 13Cr マルテンサイト系ステンレス鋼の耐食性^{*1}

川崎製鉄技報
17 (1985) 3, 299-305

Table 1 Chemical composition of steels used

(wt %)

Teflon bolt

片とキャビラリーをセットしたセル内に所定の $\text{CO}_2 + \text{H}_2\text{S} + \text{N}_2$ 混合ガスを飽和させた溶液を循環し 24 h の予備浸漬を行った。その後 Ni 系で 250°C 以上では低合金鋼と同等かむしろ劣ることが明らかになった。

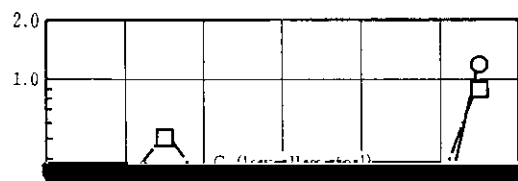


Table 5 Test results of crevice corrosion

Environmental test condition			Test result
Temperature (°C)	NaCl	Gas composition (atm)	
20	—	—	—
40	—	—	—
60	—	—	—
80	—	—	—
100	—	—	—
120	—	—	—
140	—	—	—
160	—	—	—
180	—	—	—
200	—	—	—
220	—	—	—
240	—	—	—
260	—	—	—
280	—	—	—
300	—	—	—
320	—	—	—
340	—	—	—
360	—	—	—
380	—	—	—
400	—	—	—
420	—	—	—
440	—	—	—
460	—	—	—
480	—	—	—
500	—	—	—
520	—	—	—
540	—	—	—
560	—	—	—
580	—	—	—
600	—	—	—
620	—	—	—
640	—	—	—
660	—	—	—
680	—	—	—
700	—	—	—
720	—	—	—
740	—	—	—
760	—	—	—
780	—	—	—
800	—	—	—
820	—	—	—
840	—	—	—
860	—	—	—
880	—	—	—
900	—	—	—
920	—	—	—
940	—	—	—
960	—	—	—
980	—	—	—
1000	—	—	—



これに対し、C-Cr 系 13 Cr 鋼の腐食度は低合金鋼と同様の温度依存性を示し、極大値を示す温度は CO_2 圧力が 1 気圧の場合で 200°C 、30 気圧の場合で 150°C であった。このことから 100°C 以下の低温域では C-Cr 系の不働態皮膜が安定的に存在するためきわめて自己かわ CO₂ 耐食性を示すが、高温にたるとこれが安定に

ばより早く隙間内は pH_d に達するであろう。なお、H₂S がステンレス鋼の pH_d を高めるメカニズムについては現在のところ不明である。

つぎに $\text{CO}_2 + \text{H}_2\text{S}$ 環境における 13 Cr 鋼の耐 SSC 性を SSRT で評価すると、予備清掃時点で活性状態にあり、その後 SSRT の

leans, No. 293, (1984)
10) 久松敬弘: 鉄と鋼, 63 (1977) 5, 14

International, March (1983), 50